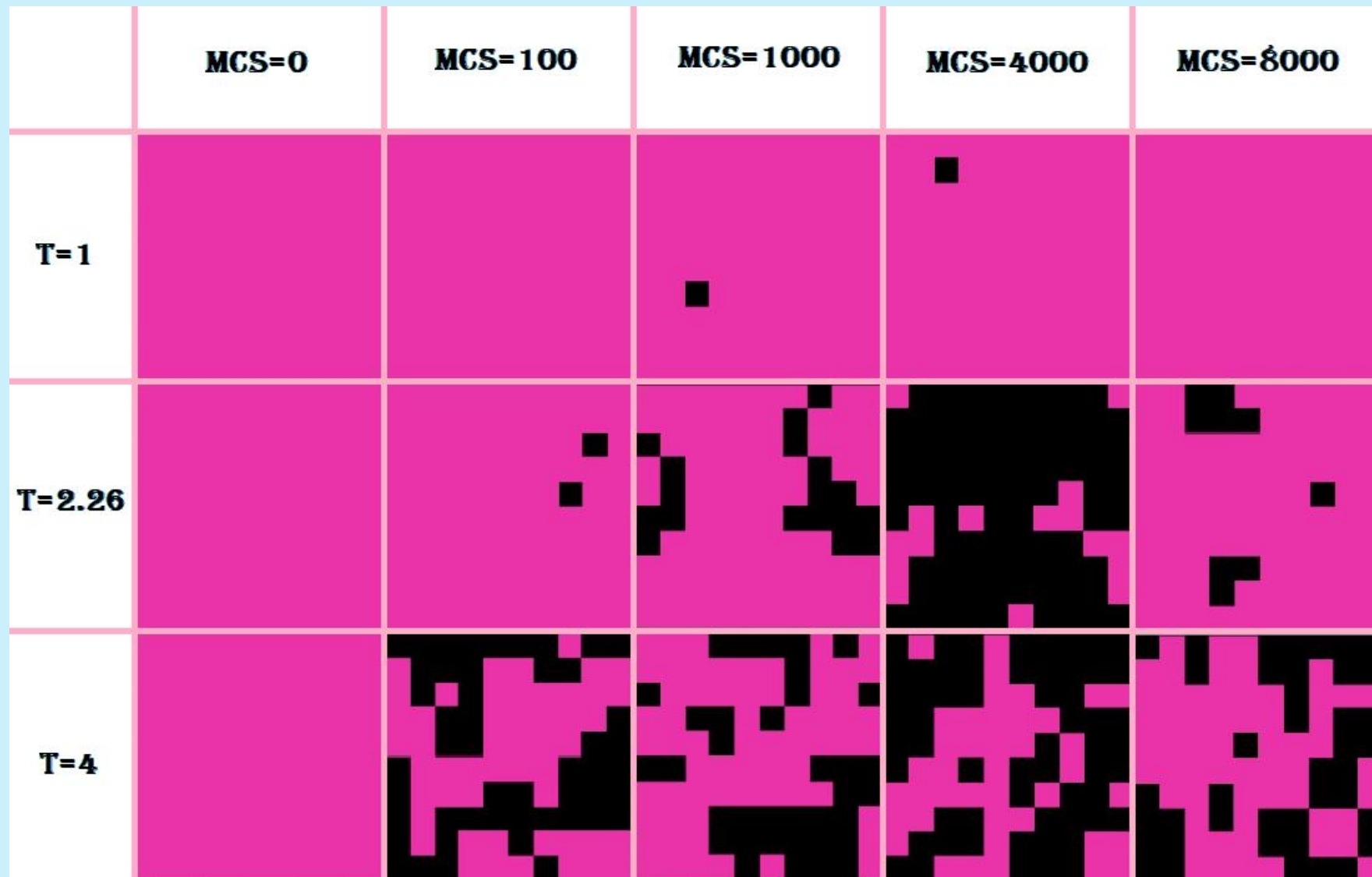



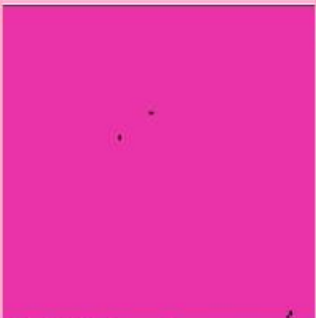
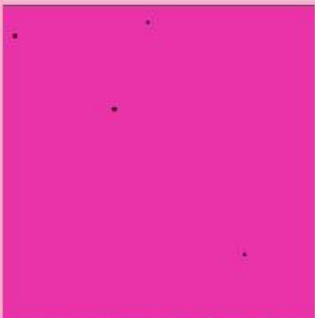
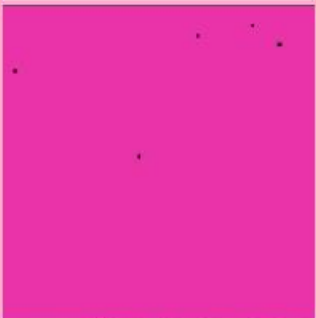




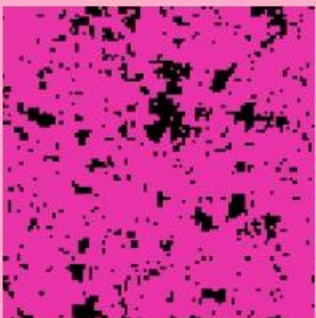


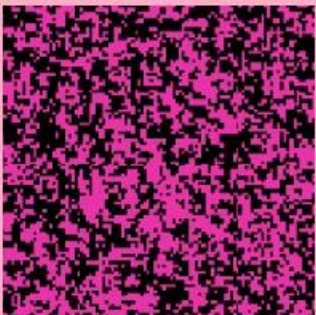
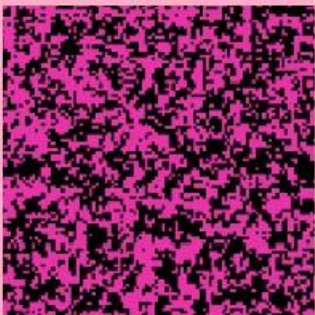
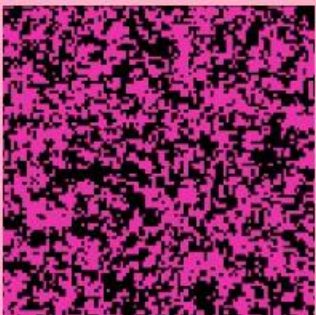

Symulacja Monte Carlo Modelu Isinga

Julia Mazur, 262296

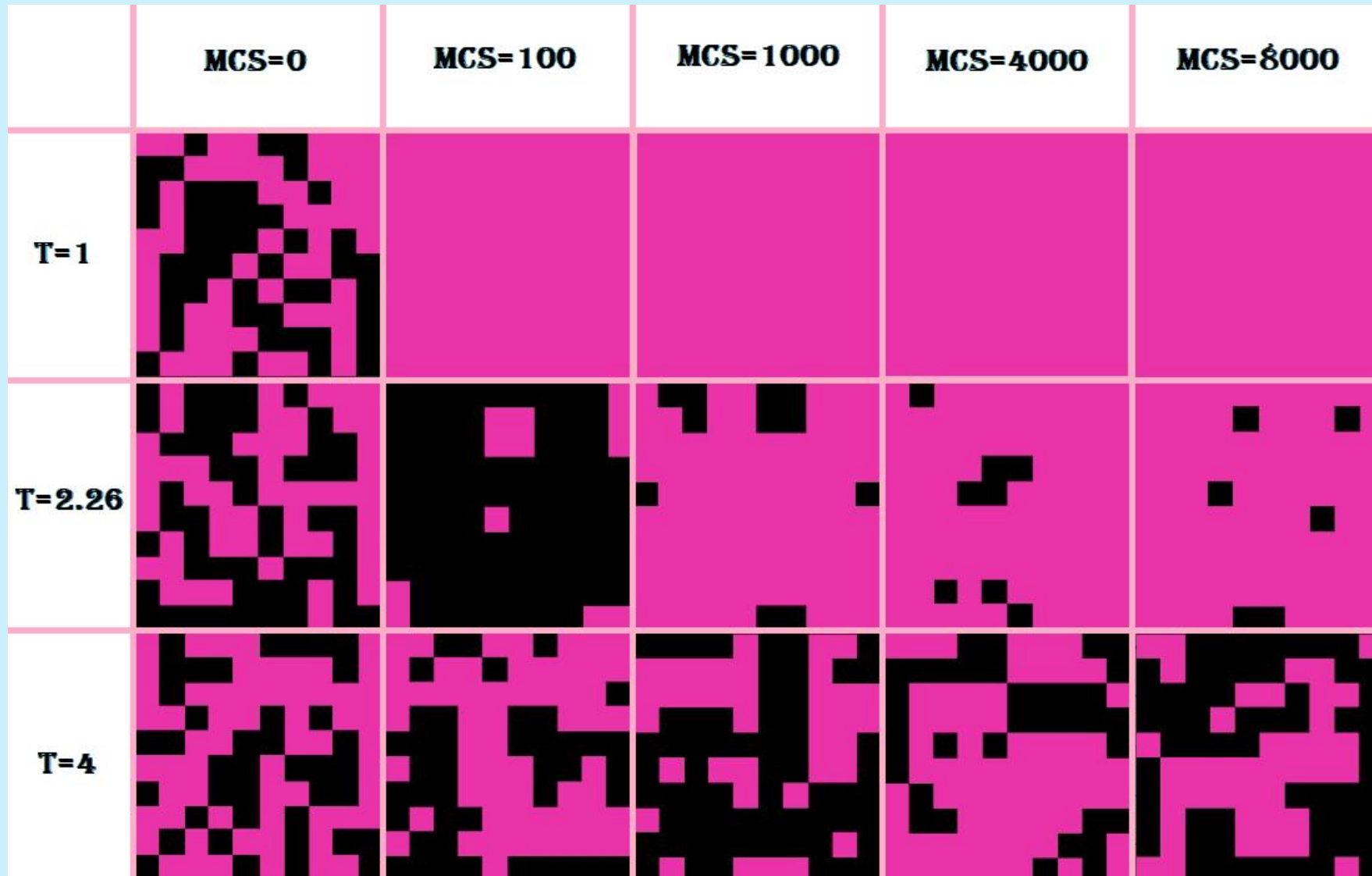
Konfiguracje spinów dla $L=10$, stan uporządkowany



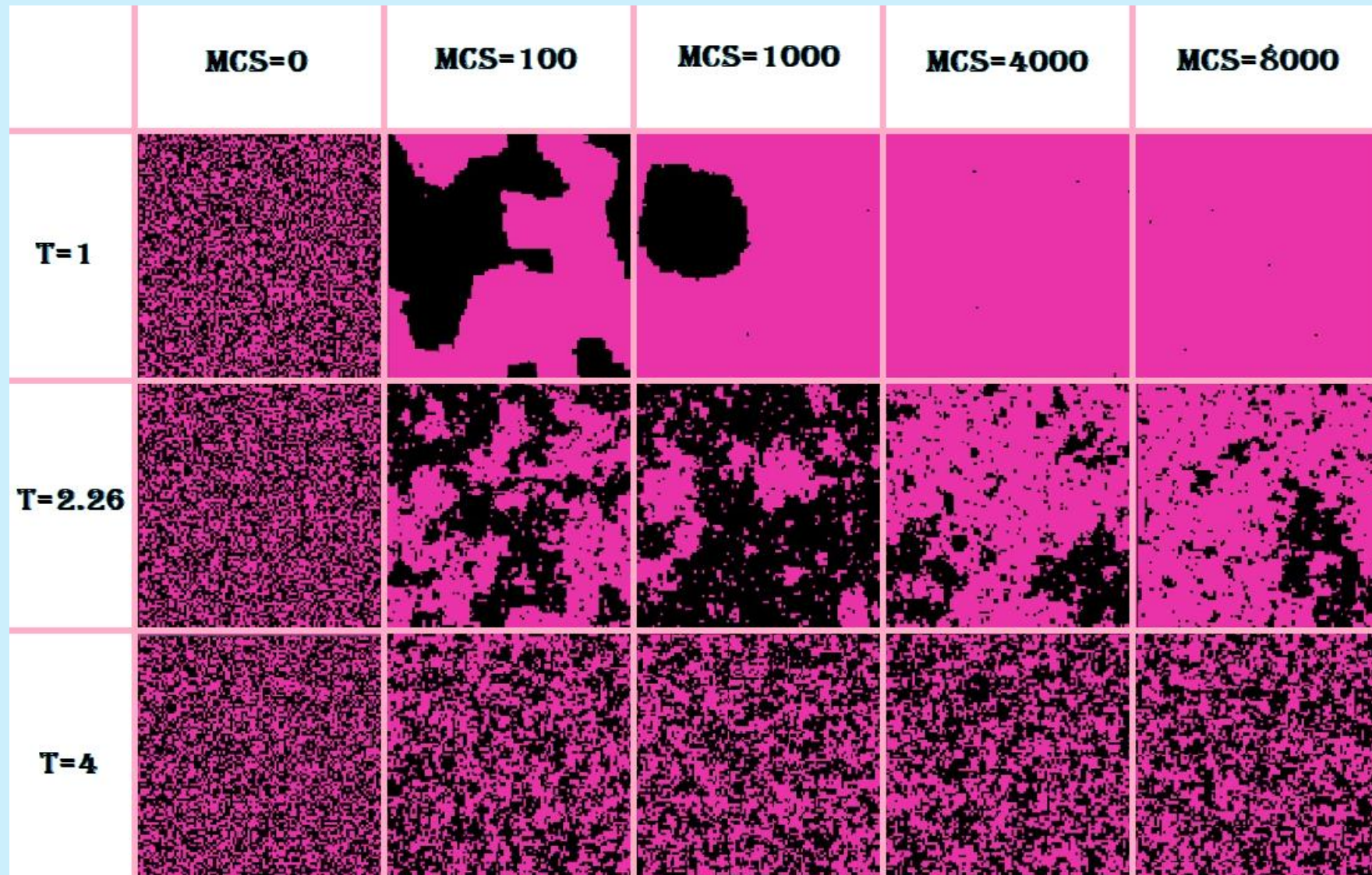
Konfiguracje spinów dla $L=100$, stan uporządkowany

	MCS=0	MCS=1000	MCS=4000	MCS=7000	MCS=10000
T=1					
T=2.26					
T=4					

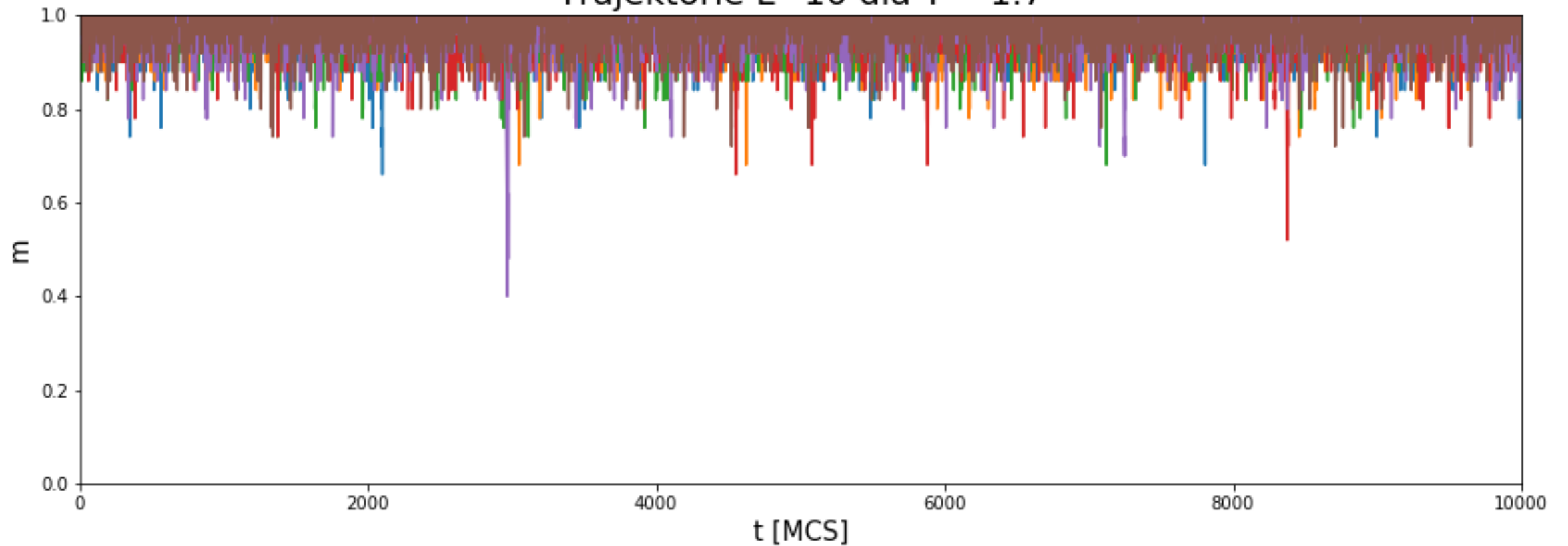
Konfiguracje spinów dla $L=10$, stan nieuporządkowany



Konfiguracje spinów dla $L=100$, stan nieuporządkowany

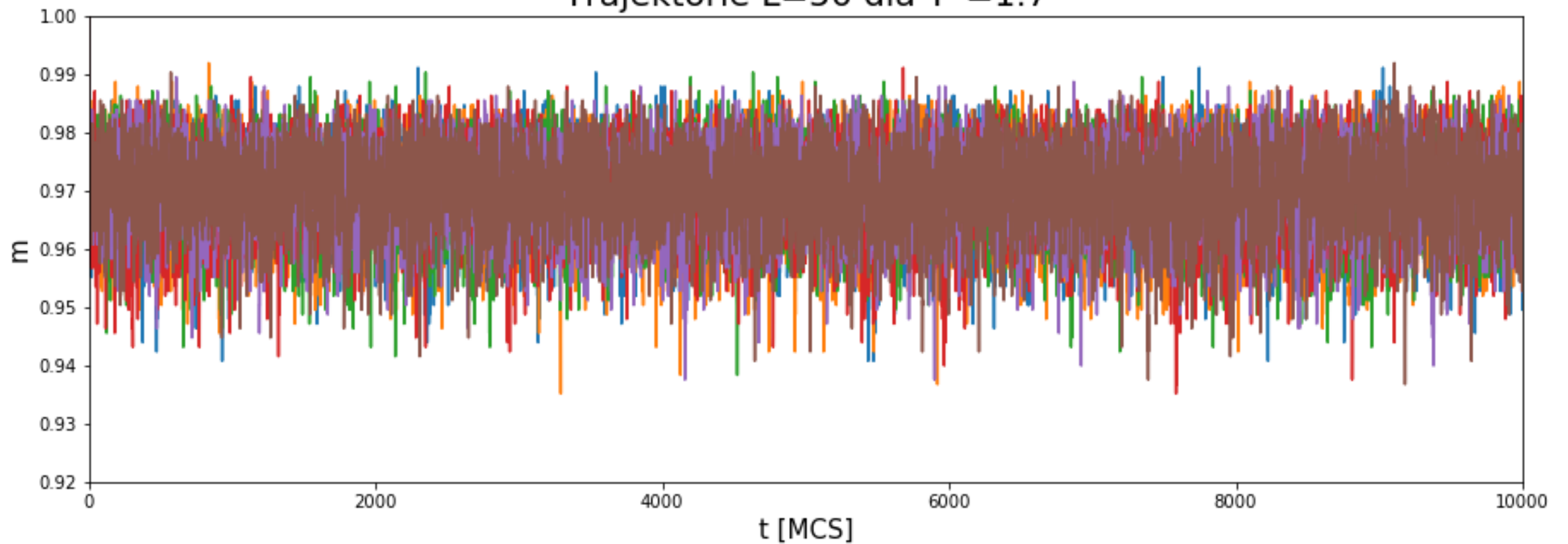


Trajektorie $L=10$ dla $T^*=1.7$



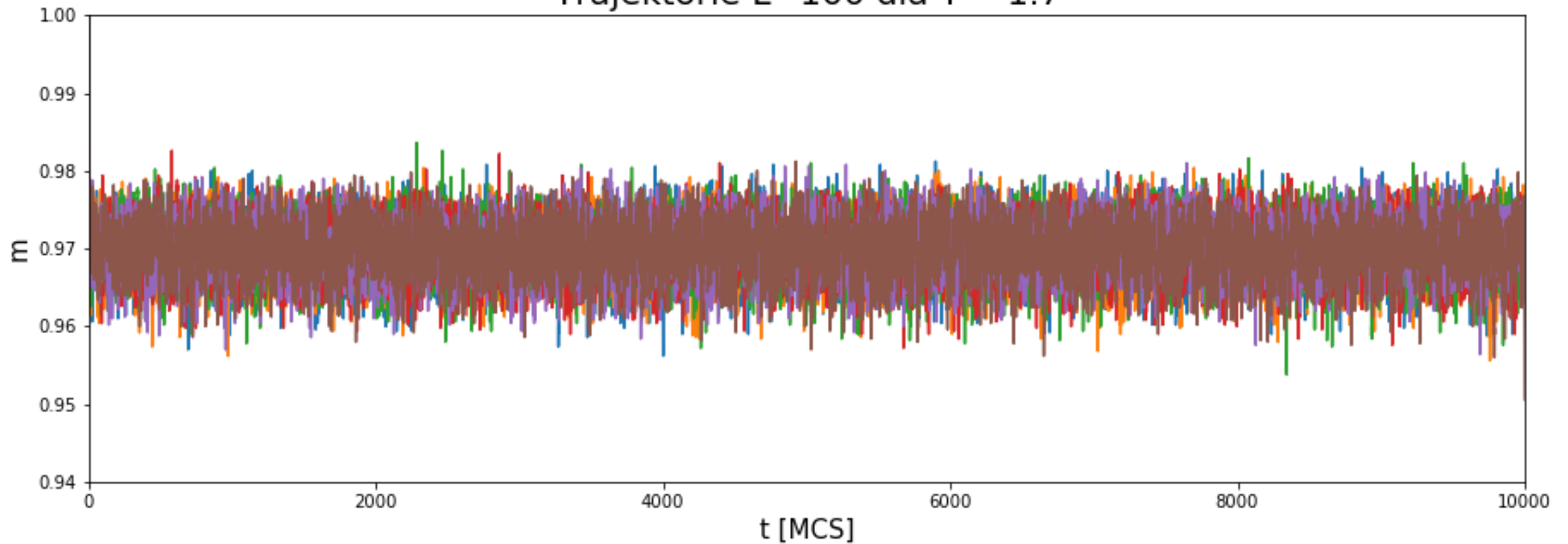
stan początkowy - uporządkowany

Trajektorie $L=50$ dla $T^*=1.7$



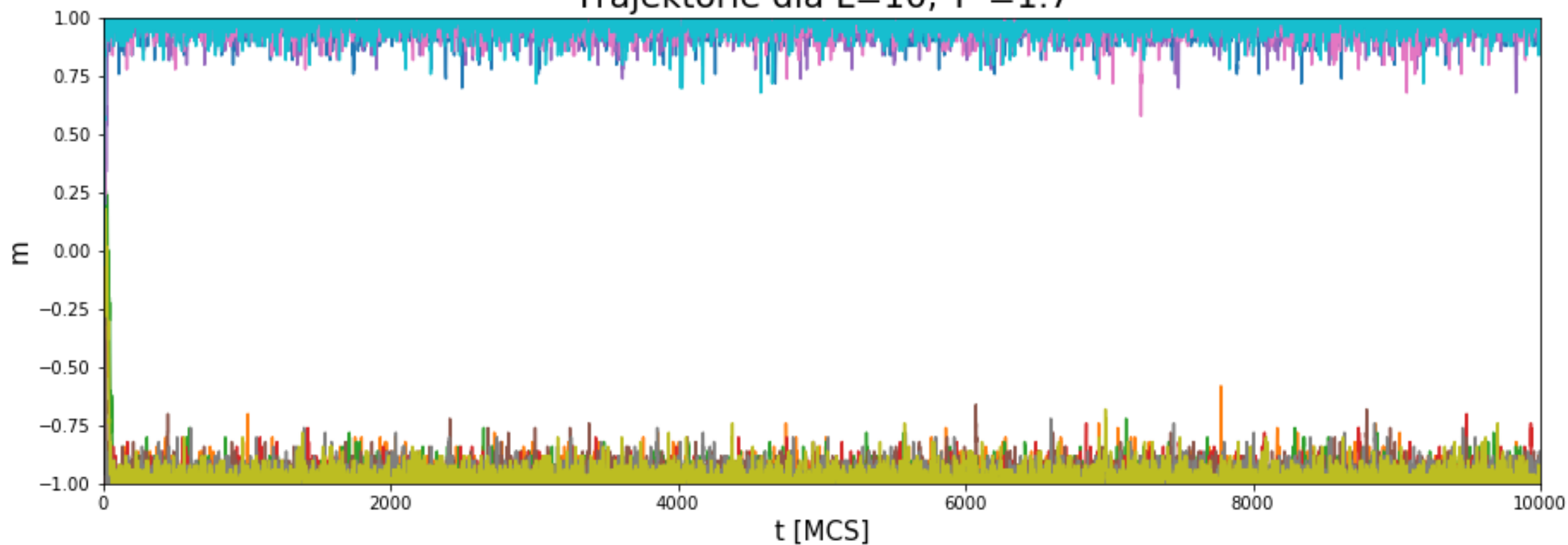
stan początkowy - uporządkowany

Trajektorie $L=100$ dla $T^*=1.7$

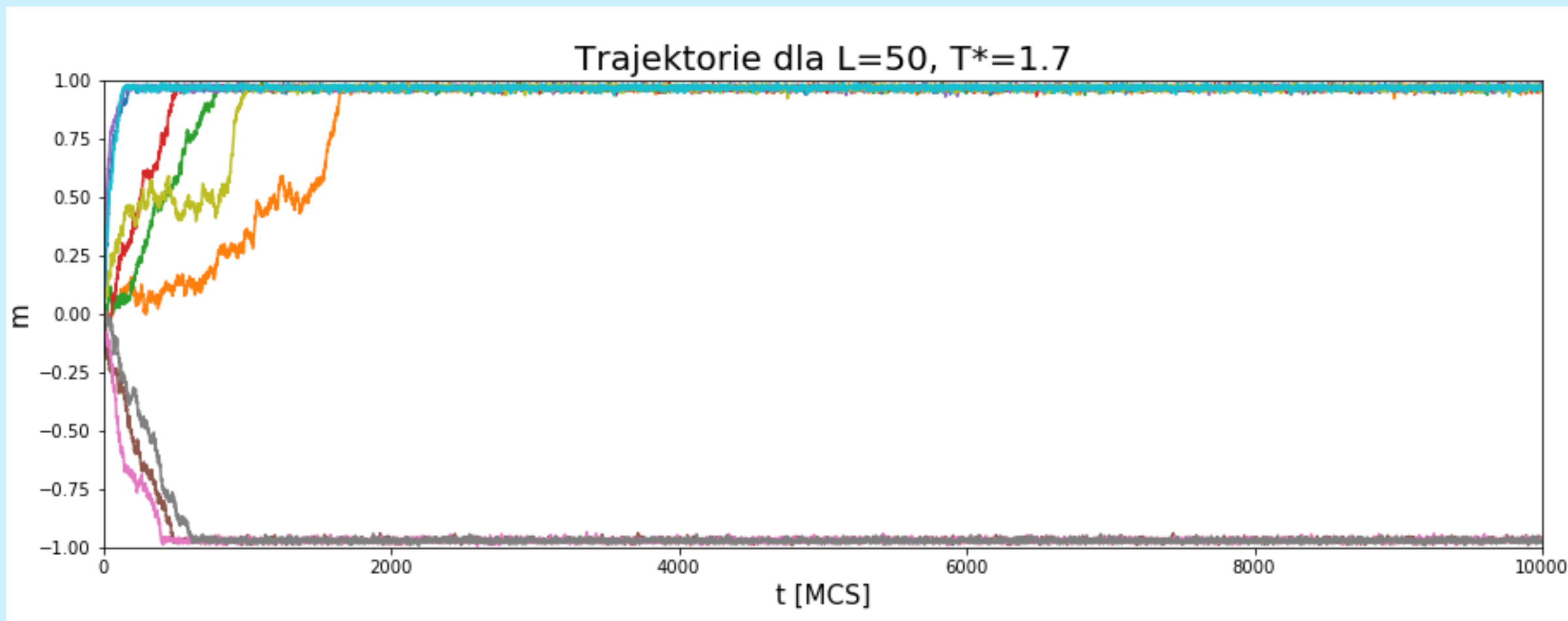


stan początkowy - uporządkowany

Trajektorie dla $L=10$, $T^*=1.7$

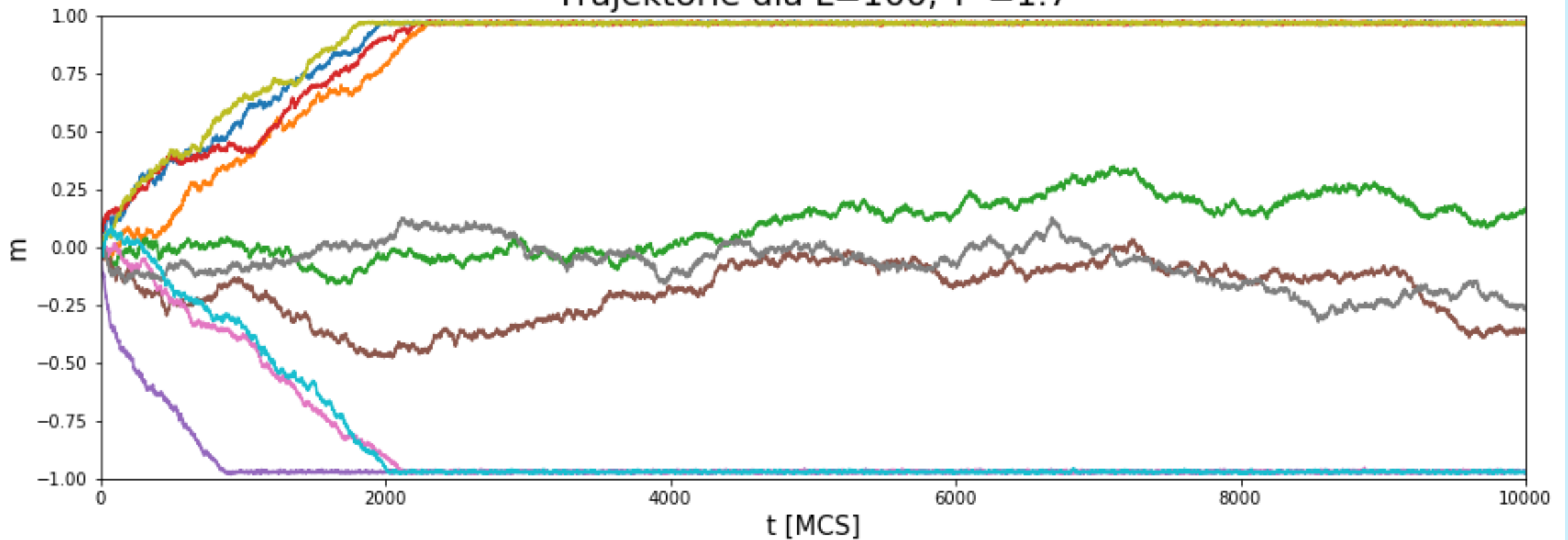


stan początkowy - nieuporządkowany



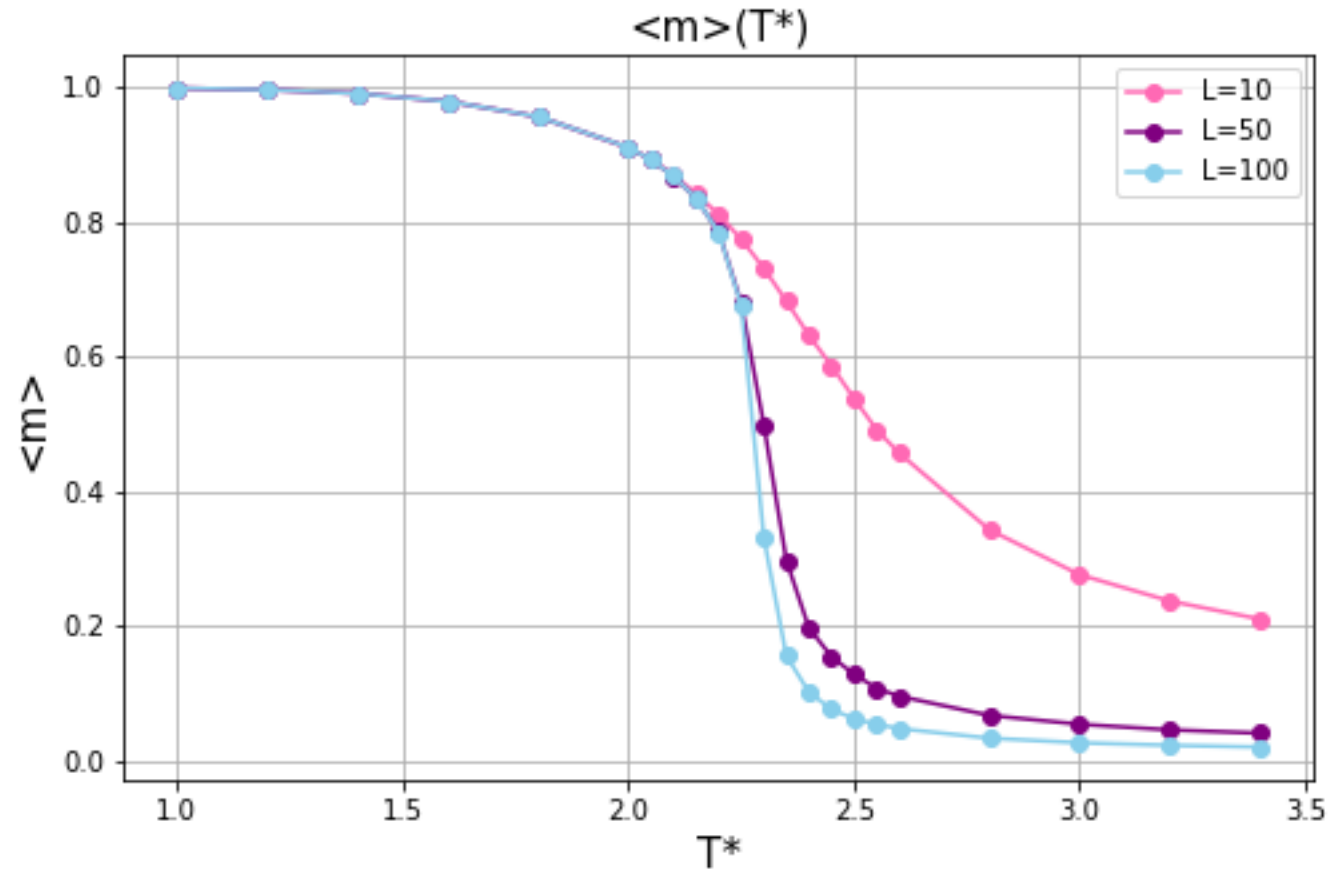
stan początkowy - nieuporządkowany

Trajektorie dla $L=100$, $T^*=1.7$



stan początkowy - nieuporządkowany

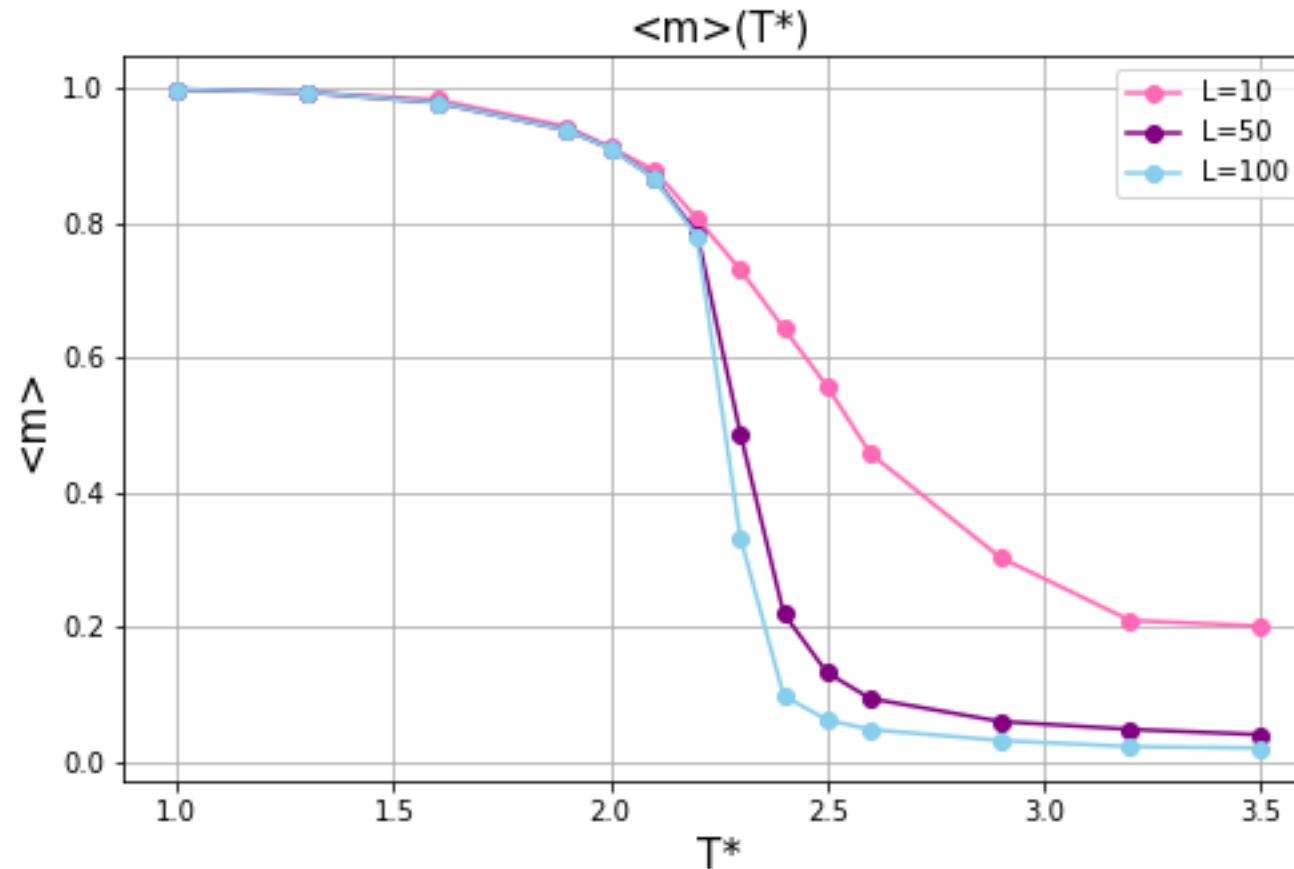
Magnetyzacja (średnia po czasie)



$K_0 = 10^4 MCS, K = 5 * 10^5 MCS$

T^* na przedziale (1,3.5)
z zagęszczeniem obserwacji na (2,2.6)

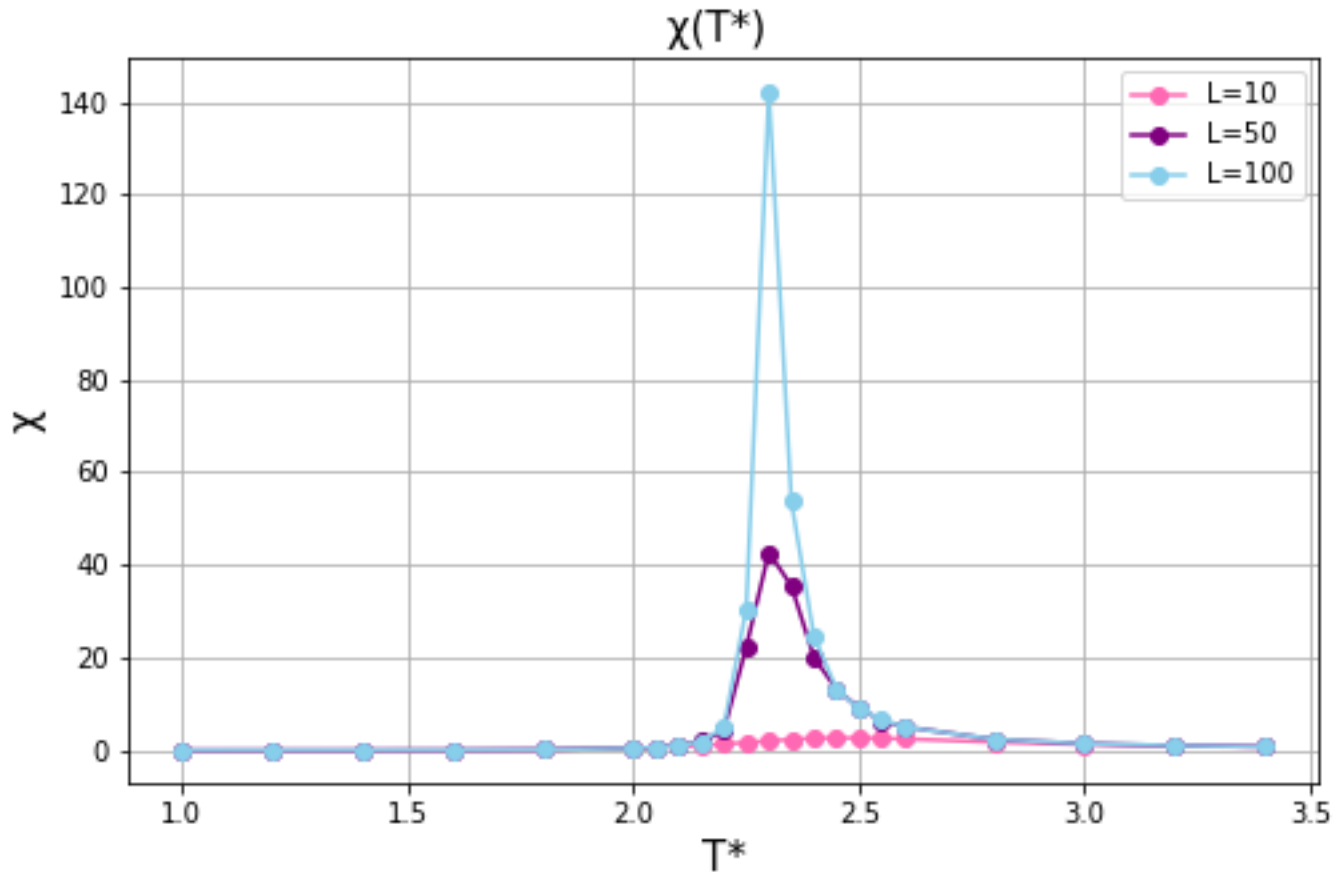
Magnetyzacja (średnia po zespole)



$K = 10^4 MCS$, po 200 trajektorii

T^* na przedziale (1,3.5)
z zagęszczeniem obserwacji na (2,2.6)

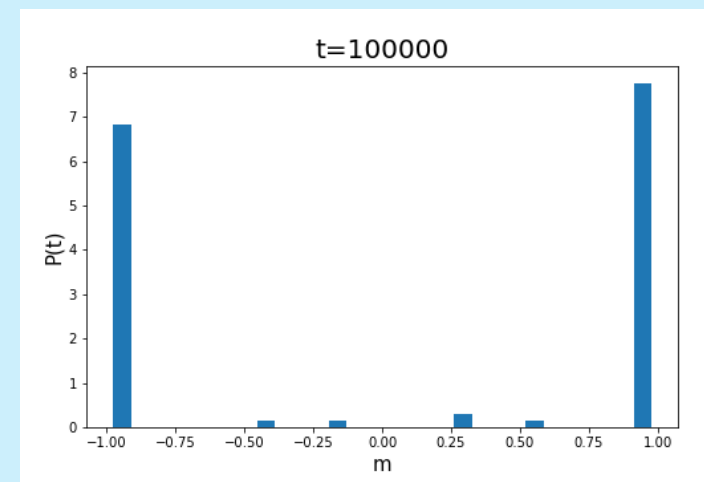
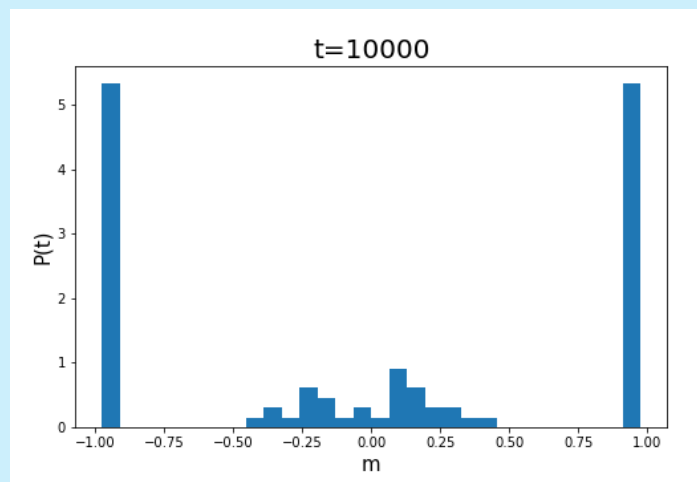
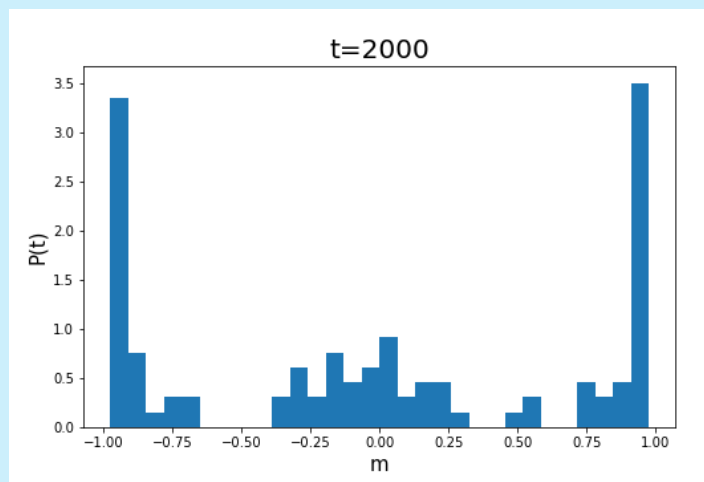
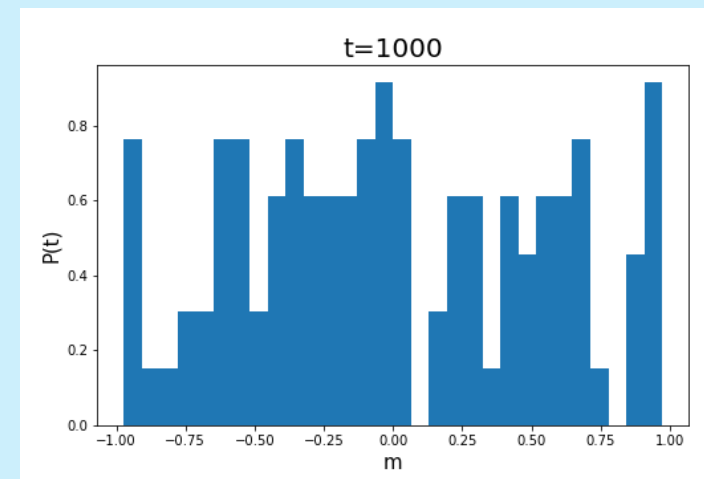
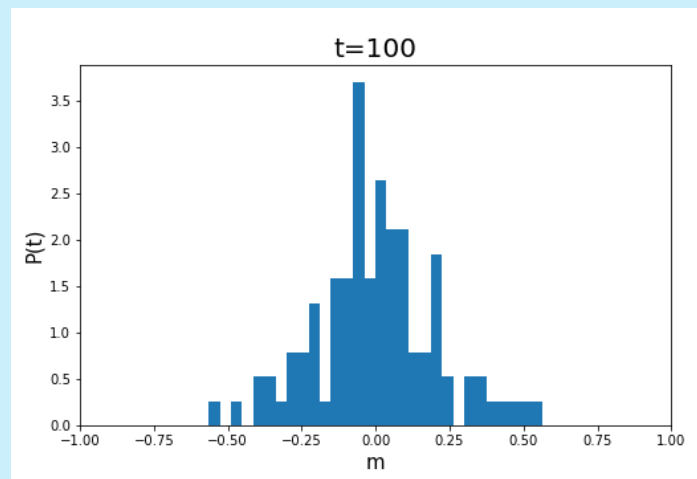
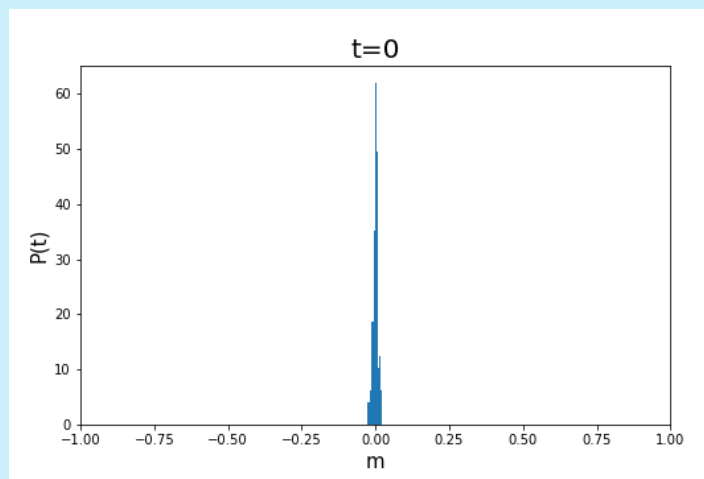
Podatność magnetyczna



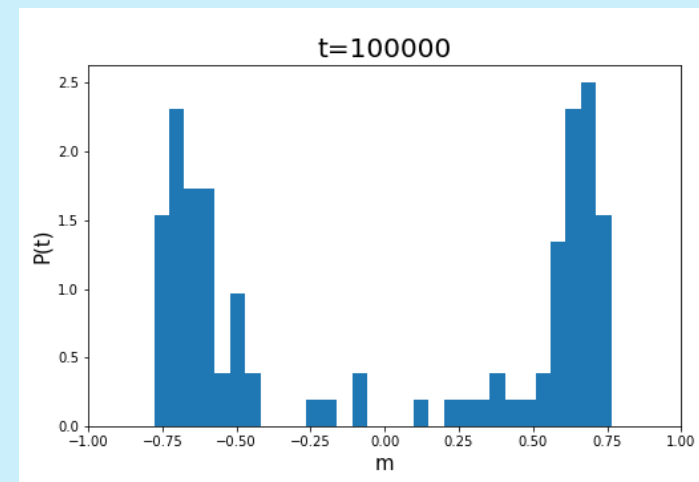
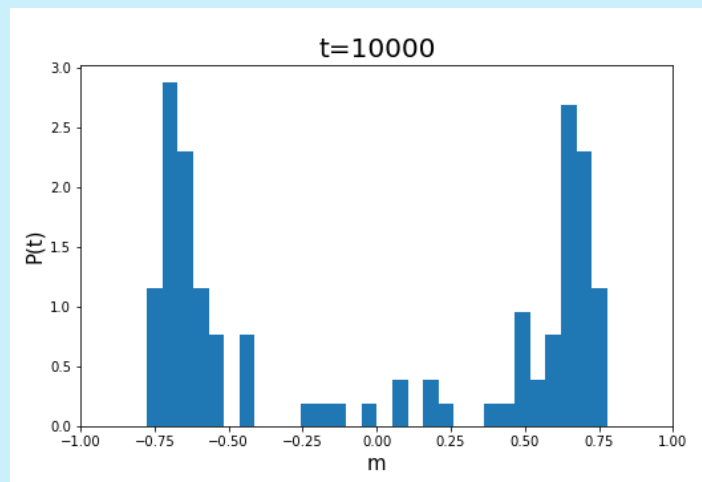
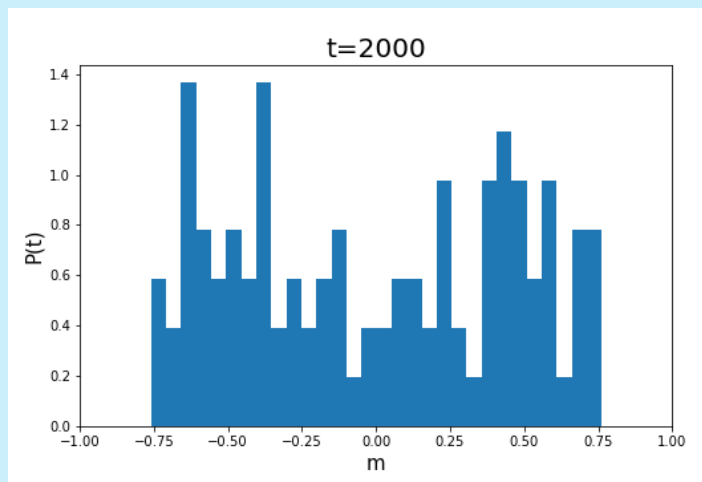
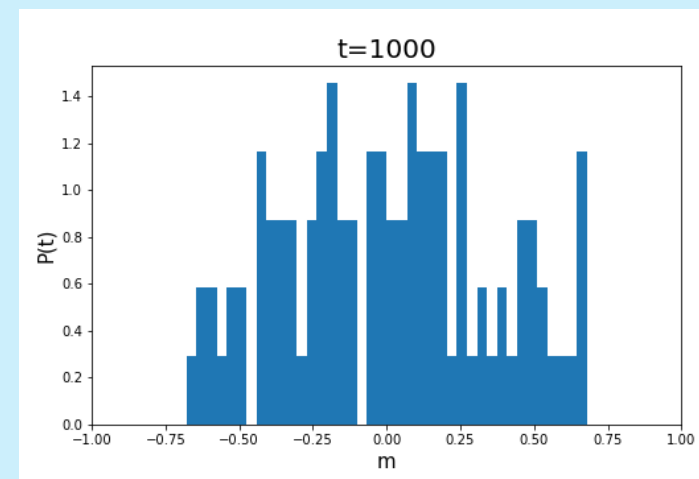
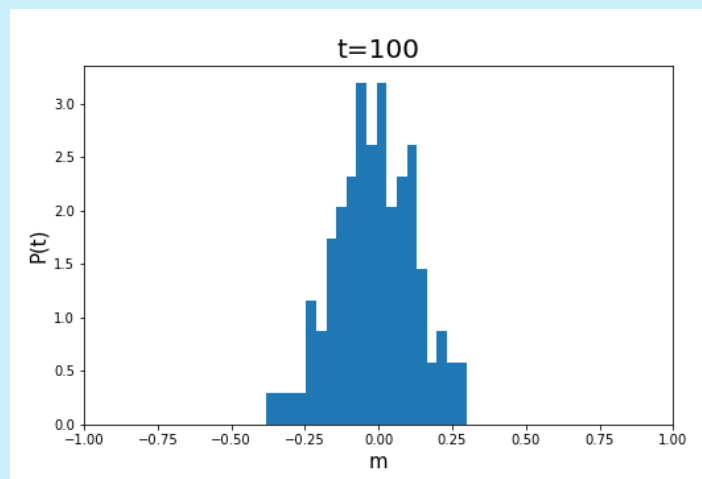
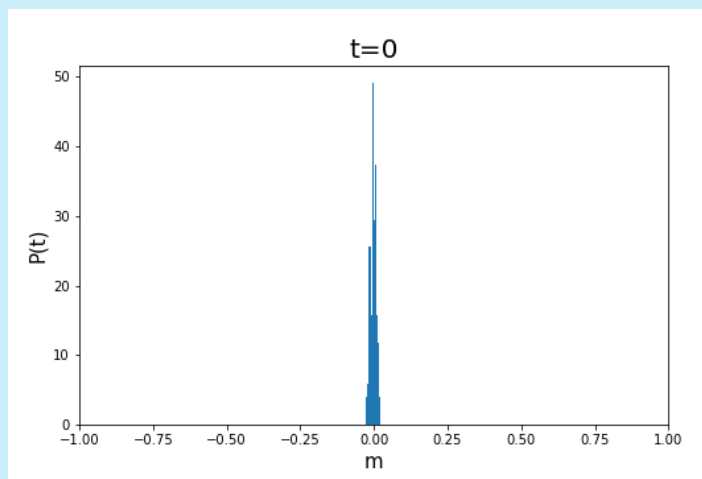
$K_0 = 10^4 MCS, K = 5 * 10^5 MCS$

T^* na przedziale (1,3.5)
z zagęszczeniem obserwacji na (2,2.6)

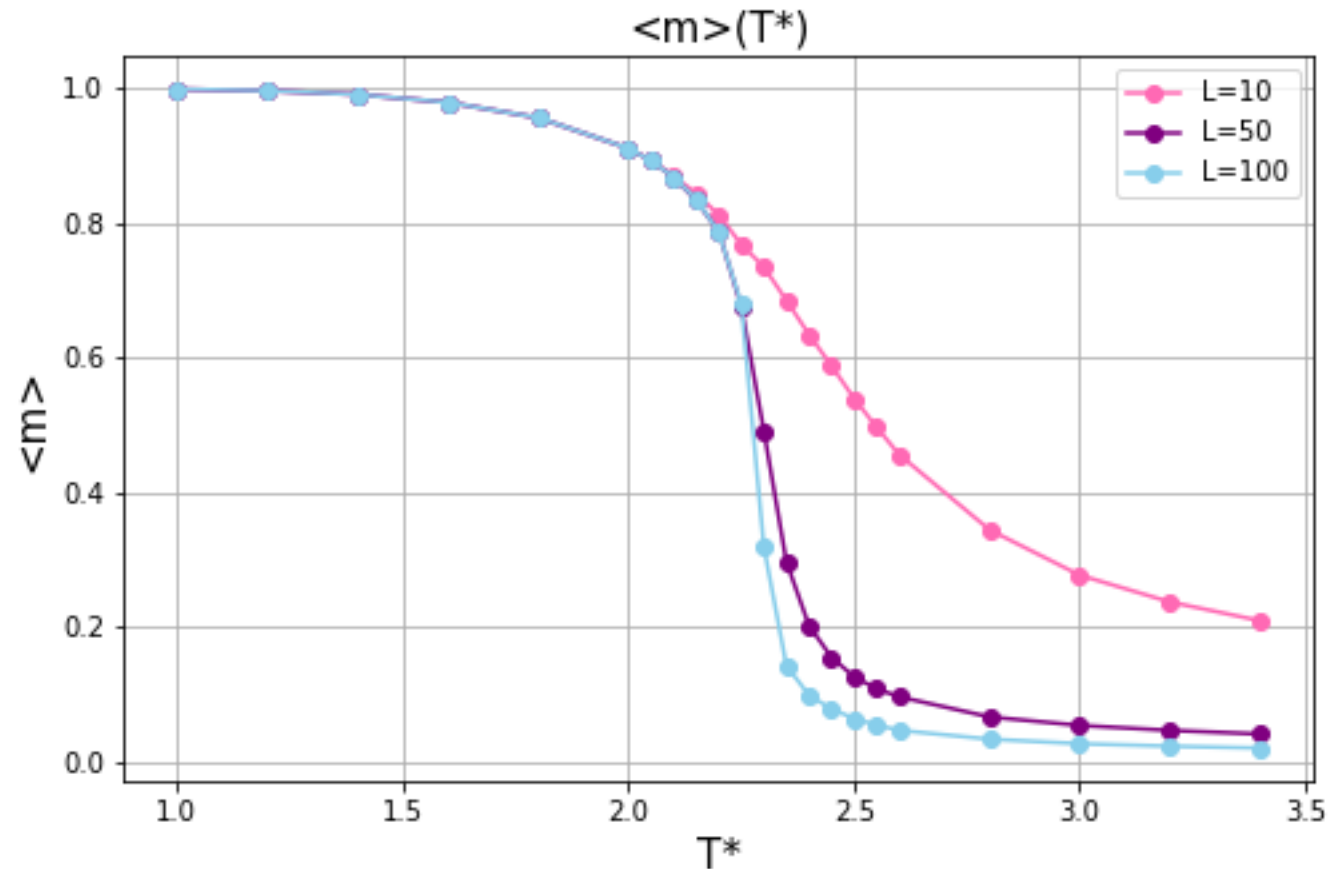
Rozkład magnetyzacji dla $L=100$, $T^*=1.7$



Rozkład magnetyzacji dla $L=100$, $T^*=2.26$



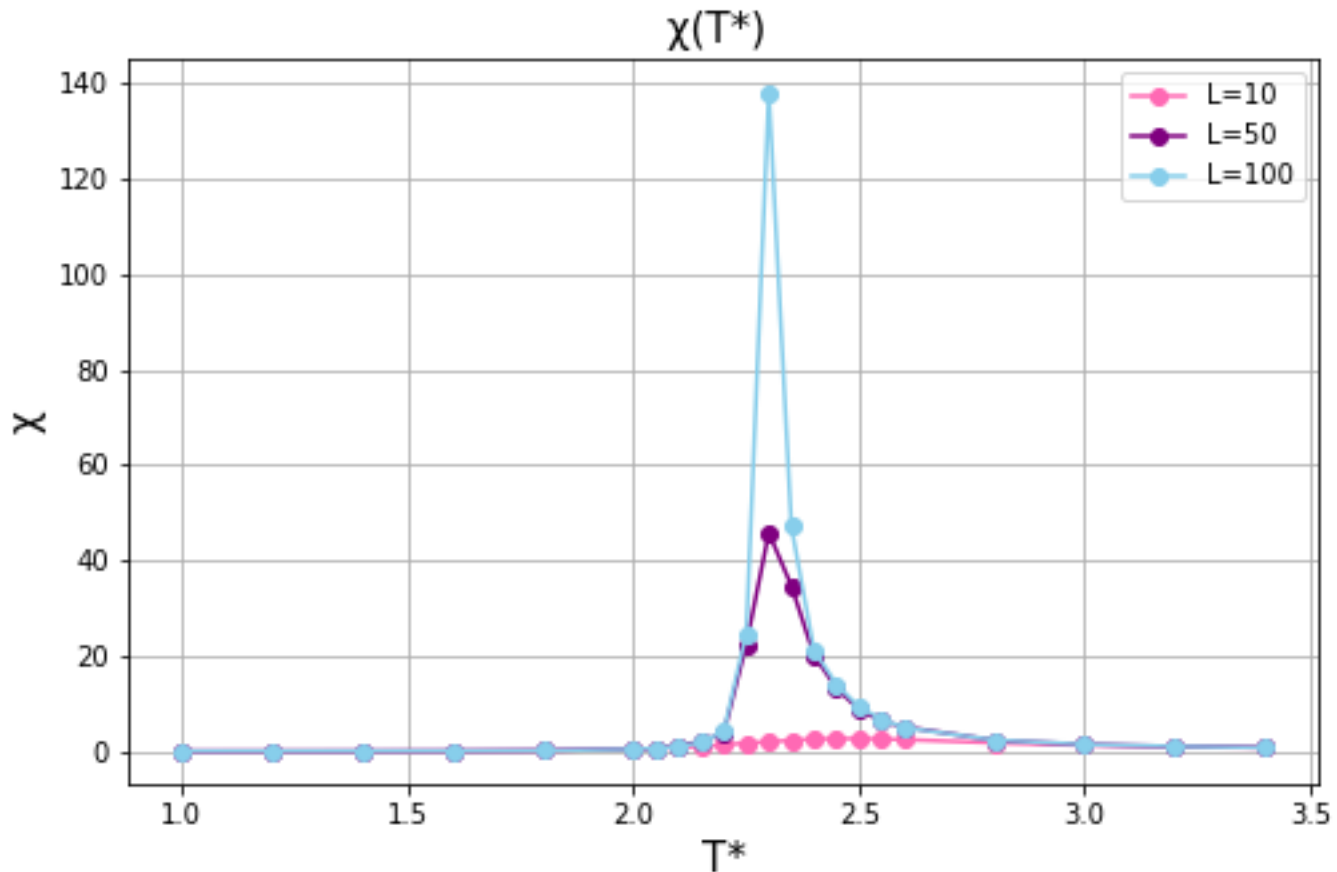
Magnetyzacja dla dynamiki Glaubera



$K_0 = 10^4 MCS, K = 5 * 10^5 MCS$

T^* na przedziale (1,3.5)
z zagęszczeniem obserwacji na (2,2.6)

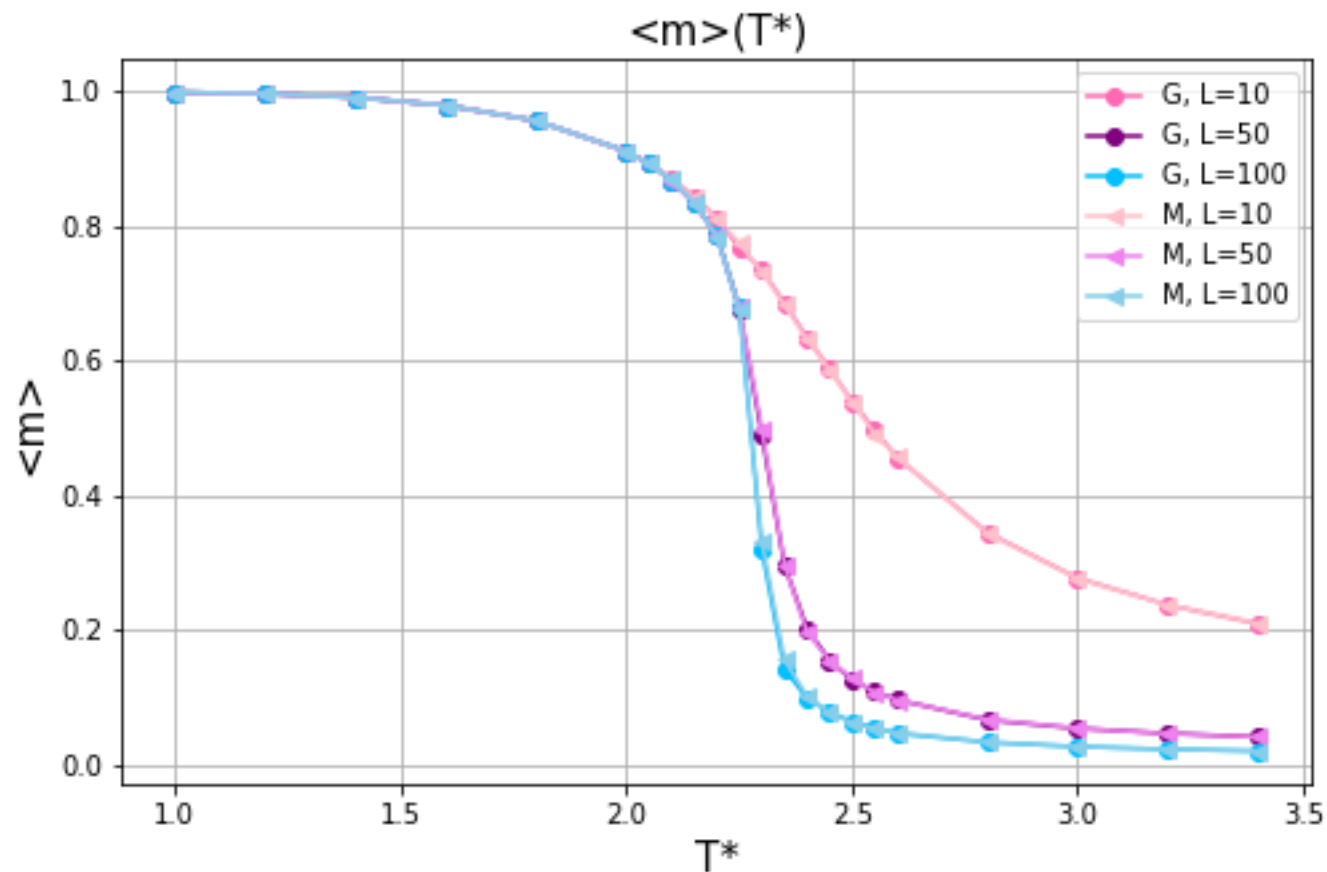
Podatność magnetyczna dla dynamiki Glaubera



$K_0 = 10^4 MCS, K = 5 * 10^5 MCS$

T^* na przedziale (1,3.5)
z zagęszczeniem obserwacji na (2,2.6)

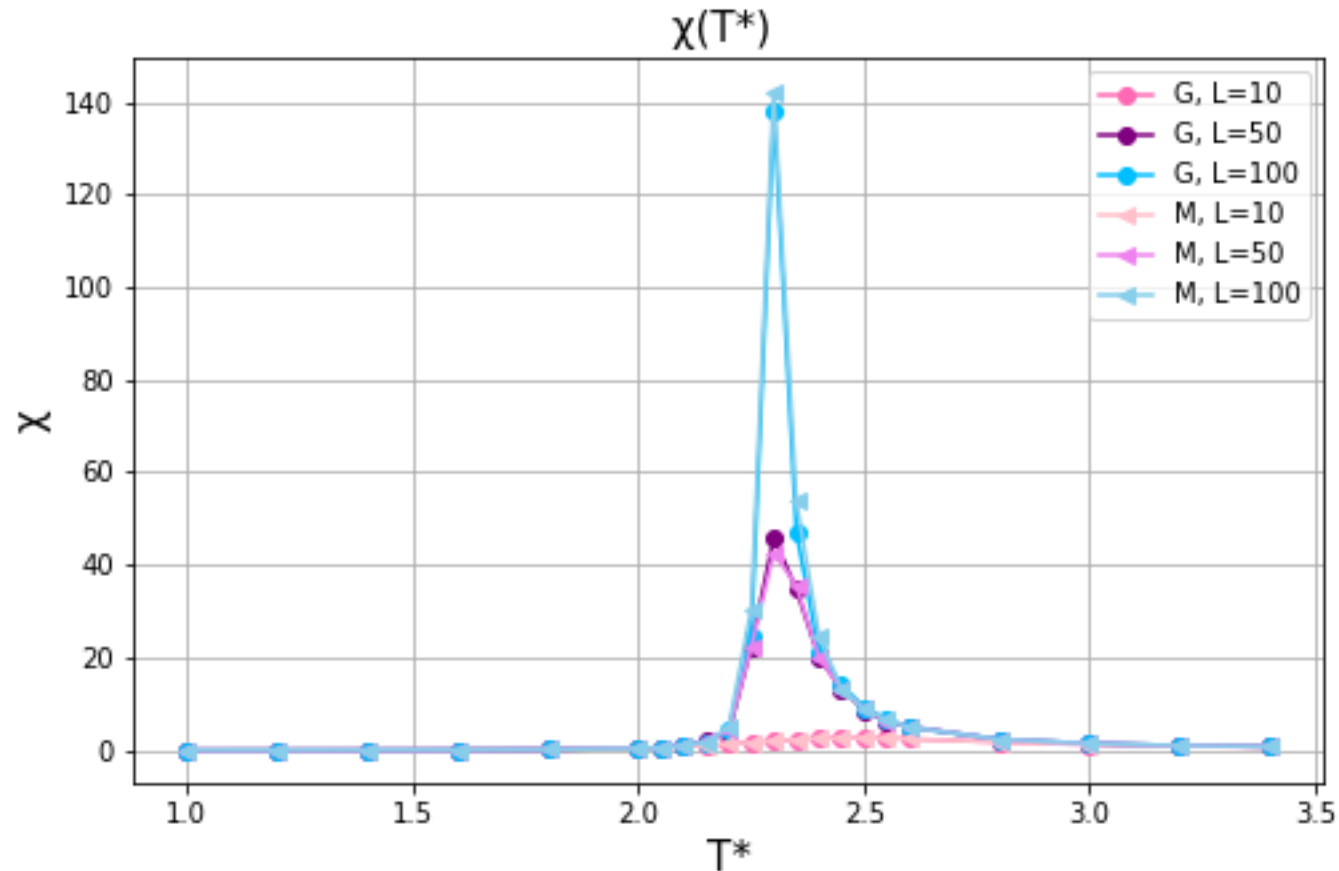
Porównanie magnetyzacji dla dynamik Glaubera i Metropolis



$K_0 = 10^4 MCS, K = 5 * 10^5 MCS$

T^* na przedziale (1,3.5)
z zagęszczeniem obserwacji na (2,2.6)

Porównanie podatności magnetycznej dla dynamik Glaubera i Metropolis



$K_0 = 10^4 MCS, K = 5 * 10^5 MCS$

T^* na przedziale (1,3.5)
z zagęszczeniem obserwacji na (2,2.6)